

# 1. Teoria de Grafos

## 1.1. Definições Básicas

A Teoria de Grafos é um ramo da matemática que estuda as relações entre os objetos de um determinado conjunto. Um **grafo** é uma estrutura composta por **vértices** (nós) e **arestas** (arcos), de tal maneira que diversos problemas podem ser formulados utilizando esta estrutura.

Formalmente falando, um grafo  $G = (V, E)$  é definido da seguinte forma:

- $V$  é o conjunto finito de elementos denominados vértices e
- $E$  é o conjunto finito de pares **não ordenados** de vértices chamados de arestas. Na prática, uma aresta conecta dois vértices.

A Figura 1 apresenta um exemplo de grafo, em que  $V = \{A, B, C, D\}$  e  $E = \{(A, B), (A, C), (B, D)\}$ . Como mencionado anteriormente,  $E$  é um conjunto não ordenado de vértices, o que significa que as arestas  $e_1 = (A, B)$  e  $e_2 = (B, A)$  representam a mesma relação e, por isso, apenas uma delas é incluída no conjunto  $E$ .

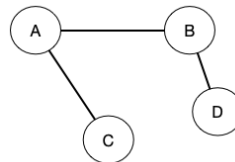


Figura 1: Exemplo de um grafo.

Algumas definições adicionais incluem: seja  $e = (A, B)$  uma aresta tal que  $e \in E$ . Dizemos que  $A$  e  $B$  são os **extremos** desta aresta, e que  $A$  e  $B$  são vértices **adjacentes**. Ademais, temos que o **tamanho** do grafo  $G$  é dado por  $|V| + |E|$ , em que  $|V|$  e  $|E|$  denotam, respectivamente, o número de vértices e arestas. No exemplo da Figura 1, temos que  $|V| = 4$  e  $|E| = 3$ .

Dizemos que um grafo é **simples** (Figura 1, por exemplo) quando o mesmo não possui **laços** ou **arestas múltiplas**. Um **laço** é uma aresta com extremos idênticos, ao passo que arestas múltiplas são definidas como sendo duas ou mais arestas com o mesmo par de extremos, conforme demonstrado na Figura 2.

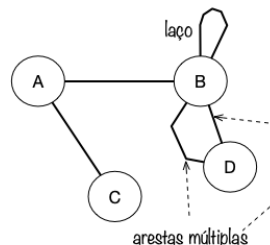


Figura 2: Exemplo de laços e arestas múltiplas em um grafo.

Dizemos que  $H = (V', E')$  é um **subgrafo** de  $G = (V, E)$  quando  $V' \subseteq V$  e  $E' \subseteq E$ . Já o grafo  $J = (V, E')$  é dito ser subgrafo **gerador** de  $G$  quando  $E' \subseteq E$ . A Figura 3 ilustra esses conceitos.

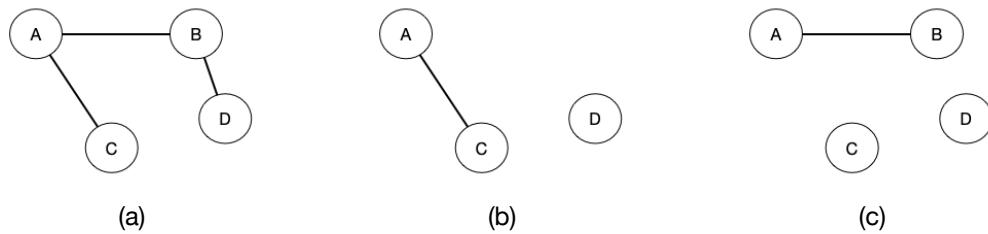


Figura 3: (a) grafo  $G$ , (b) subgrafo  $H$  e (c) subgrafo gerador  $J$ .

Já com relação ao **grau** de um vértice  $v \in V$ , denotado por  $d(v)$ , o mesmo diz respeito à quantidade de nós adjacentes à  $v$ , sendo que laços contam duas vezes. Na Figura 4, por exemplo, temos que  $d(A) = 2$ ,  $d(B) = 4$ ,  $d(C) = 1$  e  $d(D) = 1$ .

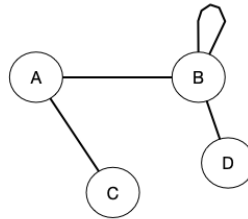


Figura 4: Exemplo de um grafo para contagem de graus de seus nós.

De acordo com o teorema conhecido por **Handshake Lemma**, temos a seguinte afirmação:

$$\sum_{v \in V} d(v) = 2 |E|. \quad (1)$$

Vamos tentar provar por indução? A prova será realizada de acordo com o **número de vértices** no conjunto  $V$ . Conforme vimos em aulas anteriores, uma prova por indução possui os seguintes passos:

1. Base: seja  $G = (V, E)$  um grafo com apenas um vértice  $v$ , ou seja,  $|V| = 1$ . Neste caso, existem duas possibilidades: (i)  $d(v) = 0$  e (ii)  $d(v) = 2$ . Na primeira opção, temos que o número de arestas é igual à zero, ou seja,  $|E| = 0$ . Assim sendo, a Equação 1 é verdadeira, ou seja,  $\sum_{v \in V} d(v) = 2 |E| = 2 \cdot 0 = 0$ . Para o segundo caso, temos que  $G$  possui um laço no vértice  $v$ , ou seja,  $d(v) = 2$ . Neste caso, a Equação 1 também é verdadeira, ou seja,  $\sum_{v \in V} d(v) = 2 |E| = 2 \cdot 1 = 2$ .
2. Hipótese de Indução: seja  $G = (V, E)$  um grafo tal que a Equação 1 seja verdadeira.
3. Passo de Indução: seja  $G' = (V', E')$  um grafo tal que  $V' = V \cup \{v^*\}$ , ou seja,  $G'$  é formado pelos mesmos vértices de  $G$  acrescido do nó  $v^*$ . Assim sendo, de acordo com o Handshake Lemma, temos que:

$$\sum_{v' \in V'} d(v') = 2 |E'|. \quad (2)$$

A equação acima pode ser escrita da seguinte forma:

$$\sum_{v' \in V'} d(v') = \sum_{v \in V} d(v) + 2d(v^*), \quad (3)$$

o que significa, na prática, que a somatória dos graus dos vértices de  $G'$  é igual à somatória dos graus dos vértices de  $G$  acrescida do dobro do grau do novo vértice  $v^*$ . Mas por que o dobro? A razão é que, ao adicionarmos  $v'$  no grafo  $G$ , temos que grau de cada vértice adjacente à  $v^*$  vai **aumentar** em uma unidade.

Pela hipótese de indução (Equação 2), podemos representar a Equação 3 como segue:

$$\sum_{v' \in V'} d(v') = \sum_{v \in V} d(v) + 2d(v^*) = 2|E| + 2d(v^*) = 2(|E| + d(v^*)). \quad (4)$$

Temos que o número de arestas de  $G'$  é dado por  $|E| + d(v^*)$ , ou seja, o número de arestas do grafo  $G'$  é dado pelo número de arestas de  $G$  acrescido da quantidade de vizinhos do novo nó  $v^*$ . Desta forma, temos que  $|E'| = |E| + d(v^*)$ . Finalmente, a Equação 4 pode ser representada da seguinte forma:

$$\sum_{v' \in V'} d(v^*) = 2(|E| + d(v^*)) = 2|E'|. \quad (5)$$

Um **caminho**  $\pi$  em um grafo  $G$  é uma sequência finita e não vazia de vértices **sem repetição**, como ilustra a Figura 5. Neste caso, temos o caminho em vermelho  $\pi = \{A, B, D\}$ . Já o **comprimento**  $c$  de um caminho é dado pela quantidade de vértices que o mesmo visita, ou seja,  $c(\pi) = 3$ .

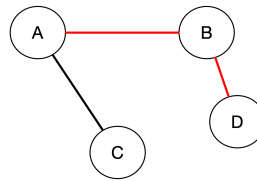


Figura 5: Exemplo de caminhos em grafos.

Dizemos que um grafo  $G$  é **conexo** se, para quaisquer dois vértices, existe um caminho conectando-os. Por outro lado, caso esta condição não possa ser satisfeita, dizemos que o grafo é **desconexo**, como ilustra a Figura 6.



Figura 6: Exemplos de grafo: (a) conexo e (b) desconexo.

Finalmente, seja um grafo  $G = (V, E)$  e dois nós  $v_1, v_2 \in V$ . Dizemos que  $G$  é **cíclico** quando existem, pelo menos, dois ou mais caminhos que possam  $v_1$  e  $v_2$ . Caso contrário,  $G$  é dito ser **acíclico**. A Figura 6 ilustra essas situações, em que o grafo apresentado na Figura 6a é dito ser cíclico porque existem dois caminhos distintos (azul e vermelho) que conectam os nós  $B$  e  $C$ .



Figura 6: Exemplos de grafo: (a) cíclico e (b) acíclico.

Os grafos também podem ser **ponderados** nas arestas, em que uma função  $w : V \times V \rightarrow \mathfrak{R}$  é responsável por associar um valor à cada uma delas. A Figura 7 ilustra um exemplo de grafo ponderado.

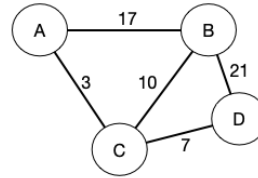


Figura 7: Exemplo de grafo ponderado, em que  $w(A, B) = 17$ .

Os tipos de grafos que vimos até agora são chamados de **grafos não direcionados** ou **grafos não orientados**. No entanto, existem grafos cujas arestas contemplam pares **ordenados** de vértices, sendo chamados de **grafos direcionados** ou **grafos orientados**. A Figura 8 apresenta um exemplo de grafo direcionado. Neste caso, nosso grafo  $G = (V, E)$  é composto da seguinte maneira:  $V = \{A, B, C, D\}$  e  $E = \{(B, A), (A, C), (C, B), (B, D), (D, C)\}$ . Assim sendo, temos que a aresta  $(B, A)$  representa um arco que **sai** de  $A$  e **entra** em  $B$ . Note que o oposto não é verdadeiro neste exemplo, ou seja,  $(A, B) \notin E$ . Podemos então dizer que  $B$  é vizinho de  $A$ , mas o contrário não é verdadeiro neste exemplo.

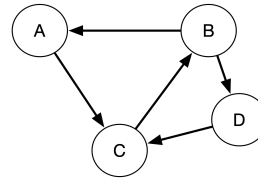


Figura 8: Exemplo de grafo direcionado.

Já com relação aos graus dos nós de um grafo direcionado, existem duas definições: o **grau de saída**  $d^+$  e o **grau de entrada**  $d^-$ . O grau de saída  $d^+(v)$  de um vértice  $v \in V$  é dado pelo número de arestas que **saem** de  $v$ , ao passo que o grau de entrada  $d^-(v)$  é dado pelo número de arestas que **entram** em  $v$ .

Considere o seguinte teorema: para todo grafo orientado  $G = (V, E)$ , temos que:

$$\sum_{v \in V} d^+(v) = \sum_{v \in V} d^-(v) = |E|. \quad (7)$$

A demonstração do teorema acima é bastante intuitiva. Seja o grafo orientado  $G = (V, E)$  cujo teorema acima é válido. Seja, agora, um grafo orientado  $G' = (V', E')$  de tal forma que  $V' = V \cup \{v^*\}$ . O número de arestas de  $G'$  é dado pelo número de arestas de  $G$  acrescido pelo número de arestas que entram e saem de  $v^*$ , ou seja,  $|E'| = |E| + d^+(v^*) + d^-(v^*)$ . Baseando-se no teorema, temos que:

$$\begin{aligned} |E'| &= |E| + d^+(v^*) + d^-(v^*) \\ &= \sum_{v \in V'} d^+(v) - d^-(v^*) + d^-(v^*) \\ &= \sum_{v \in V'} d^+(v). \end{aligned} \quad (8)$$

Na formulação acima, tivemos que adicionar o termo em vermelho pois a somatória dos graus de saída de  $G'$  já contabiliza esse montante.

## 1.2. Representação

A complexidade de algoritmos baseados em grafos é dependente da maneira com a qual eles são representados. Basicamente, existem duas estruturas de dados principais utilizadas para representar grafos: (i) **matriz de adjacência** e (ii) **lista de adjacência**. O seu uso depende das operações que ditam a natureza do problema.

Dado um grafo qualquer  $G = (V, E)$ , a matriz de adjacência é uma matriz quadrada  $A_{|V| \times |V|}$  cujas linhas e colunas são indexadas pelos vértices em  $G$  da seguinte forma:

$$A_{ij} = \begin{cases} 1 & \text{caso } (i, j) \in E \\ 0 & \text{caso contrário.} \end{cases} \quad (9)$$

A Figura 9 ilustra um exemplo de um grafo não direcionado e sua respectiva matriz de adjacência. Note que a matriz  $A$  é simétrica quando  $G$  é não orientado.

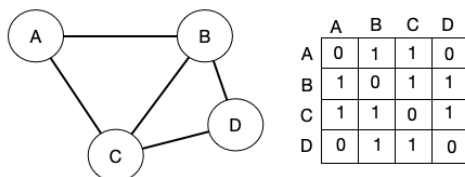


Figura 9: Exemplo de um grafo e sua respectiva matriz de adjacência.

Já a Figura 10 apresenta um grafo direcionado e sua respectiva matriz de adjacência. No caso, a mesma já não é mais simétrica.

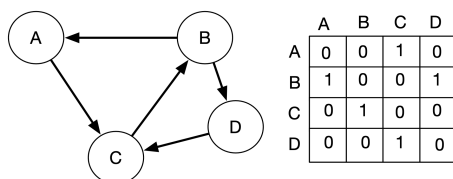


Figura 10: Exemplo de um grafo direcionado e sua respectiva matriz de adjacência.

Com relação à lista de adjacência, a mesma é construída com base na seguinte premissa: para cada vértice  $j$  vizinho de  $i$ , adicionamos  $j$  na lista ligada  $L[i]$ , em que  $L$  é o apontador para o primeiro elemento desta lista. Desta forma,  $L[i]$  armazena todos os vizinhos do vértice  $i$ . As Figuras 11 e 12 apresentam exemplos de uma lista de adjacência para um grafo não direcionado e outro direcionado, respectivamente.

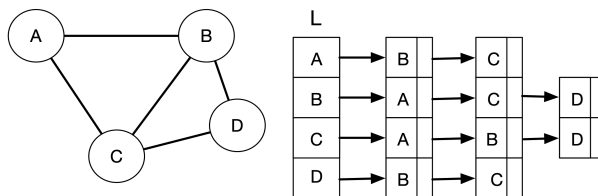


Figura 11: Exemplo de um grafo não direcionado e sua respectiva lista de adjacência.

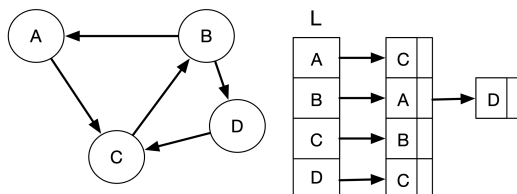


Figura 12: Exemplo de um grafo direcionado e sua respectiva lista de adjacência.

No entanto, qual das duas estruturas de dados devemos utilizar? A resposta à esta pergunta depende muito da **aplicação**. Vejamos alguns exemplos de operações:

- Verificar se existe uma determinada aresta  $(i, j)$ :
  - Matriz de adjacência:  $\theta(1)$  (a matriz já está alocada)
  - Lista de adjacência:  $O(|V|)$  (tenho que percorrer toda a lista de adjacência do nó  $i$ )
- Complexidade de espaço:
  - Matriz de adjacência:  $\theta(|V|^2)$  (geralmente mais adequada a **grafos densos**)
  - Lista de adjacência:  $\theta(|V| + |E|)$  (geralmente mais adequada a **grafos esparsos**)

Dado um grafo com  $|V|$  vértices, temos que o seu número máximo  $m$  de arestas é dado por:

$$m = \binom{|V|}{2} = \frac{|V|(|V| - 1)}{2} \in \theta(|V|^2). \quad (10)$$

Um grafo é dito denso se o seu número de arestas se **aproxima** do limitante  $m$  acima. Por outro lado, um grafo é dito ser esparsos se o seu número de arestas é **muito menor** do que este limitante.

## 1.3. Aplicações

Uma das principais aplicações em grafos diz respeito à **algoritmos de busca**. Basicamente, temos duas abordagens principais: busca em **largura** e busca em **profundidade**. A seguir, veremos cada uma delas.

### 1.3.1 Busca em Largura

Seja o nosso grafo  $G = (V, E)$ . Dizemos que um vértice  $v \in V$  é **alcançável** se, a partir de um outro vértice  $s \in V$ , existe um caminho que conecta  $s$  ao vértice  $v$  em  $G$ . Ademais, temos que a **distância** de  $s$  à  $v$  é dada pelo caminho mais **curto** se  $s$  à  $v$ . Caso o vértice  $v$  não seja alcançável a partir de  $s$ , dizemos então que a distância entre  $s$  e  $v$  é **infinita**.

A busca em largura é um algoritmo bastante conhecido que objetiva realizar uma varredura no grafo a partir de um nó  $s$  denominado **fonte**. O algoritmo percorre todos os vértices em  $G$  que são alcançáveis a partir deste nó fonte, construindo uma **árvore de busca em largura** com raiz em  $s$ . Cada caminho de  $s$  à  $v$  nesta árvore corresponde ao caminho mais curto de  $s$  à  $v$ .

O algoritmo funciona, basicamente, da seguinte forma:

1. Inicialmente, a árvore de busca em largura contém apenas o nó  $s$ .
2. Para cada vizinho  $v$  de  $s$ , o nó  $v$  e a aresta  $(s, v)$  são inseridos na árvore.
3. O passo acima é repetido para todos os vizinhos de  $s$  até que todos os nós alcançados por ele sejam inseridos na árvore.

O algoritmo de busca em largura é implementado utilizando-se uma **fila  $Q$** . Além disso, o algoritmo atribui cores aos nós da seguinte forma:

- branco: significa que o nó ainda não foi visitado.
- cinza: significa que o nó foi visitado uma única vez.

- azul: significa que todos os vizinhos do nó já foram visitados.

Para explicar o funcionamento do algoritmo, tomemos como exemplo o grafo da Figura 12a. Neste caso, tomemos o vértice *A* como sendo o nó fonte, conforme apresentado na Figura 12b. Neste caso, *A* é então inserido na fila *Q*, recebe a cor cinza e o **custo** 0. Além disso, os demais nós recebem o custo  $\infty$ . A Figura 11c ilustra o nó *A* percorrendo seus dois vizinhos, isto é, os nós *B* e *C*. Neste exemplo, assumimos que a distância entre nós dois adjacentes é igual à 1. Assim sendo, por enquanto, o menor caminho entre *A* e *B* tem custo 1. O mesmo ocorre entre *A* e *C*. Em seguida, ambos nós *C* e *B* são inseridos na fila e o processo se repete para o próximo elemento (Figura 11d). A Figura 11d ilustra o nó *C* visitando os seus vizinhos *A*, *B* e *D*. No entanto, como *A* já saiu da fila, ou seja, possui a cor azul, então o mesmo não pode mais ser modificado. Além disso, o custo do nó *D* é atualizado para 2, ou seja, o custo que o nó *C* tinha + 1, e a cor do nó *C* é mudada para azul. Já a Figura 11g ilustra o nó *B* saindo da fila e analisando os seus vizinhos *A*, *C* e *D*. Note que nenhum custo será atualizado. A Figura 11h apresenta o nó *D* analisando seus vizinhos, mas não pode alterar o custo de nenhum deles. Finalmente, a Figura 11i apresenta a árvore de busca resultante, a qual é composta pelos nós e arestas azuis.

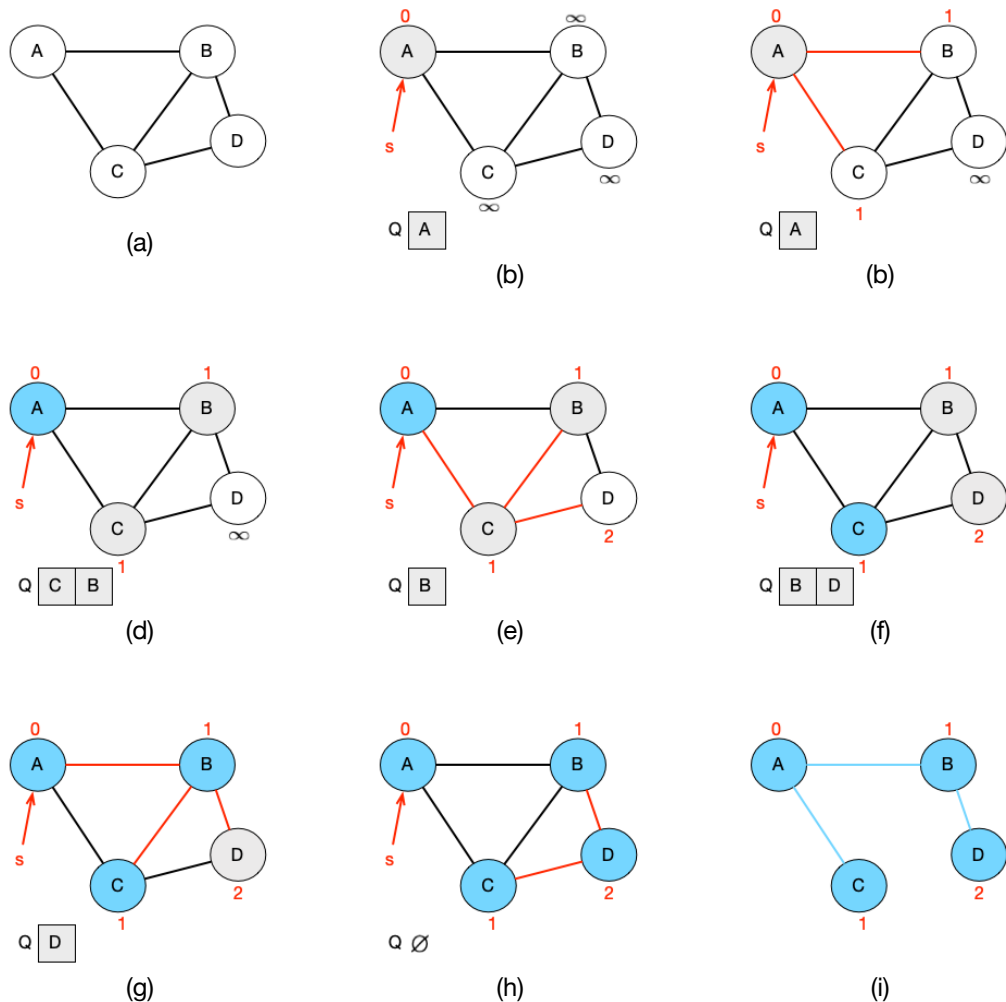


Figura 11: (a) grafo original, (b) busca começa pelo nó fonte *A*, (c) nó *A* analisando seus vizinhos, (d) nó *A* sai da fila, (e) nó *C* analisando seus vizinhos, (f) nó *D* entra na fila, (g) nó *B* analisando seus vizinhos, (h) nó *D* analisando seus vizinhos e (i) árvore de busca em largura resultante.

O algoritmo abaixo implementa a busca em largura utilizando o grafo da Figura 11a como exemplo, tendo *A* como sendo o nó fonte.

```

In [46]: import numpy
import sys
import queue

# definindo cores
BRANCO = 0
CINZA = 1
AZUL = 2

# definindo vizinho vazio
NIL = -1

# definindo custo infinito
infy = sys.maxsize

number_nodes = 4 #define o número de nós (vértices)
cor = numpy.empty(number_nodes).astype('int') # cria vetor de cores
custo = numpy.empty(number_nodes).astype('int') # cria vetor de custo
caminho = numpy.empty(number_nodes).astype('int') # cria vetor de caminho

Q = queue.Queue(maxsize=number_nodes) #definindo a fila

# assumimos os seguintes identificadores para cada nó para fins de ...
# A = 0, B = 1, C = 2 e D = 3

# definindo o grafo G
G = {
    0: [1, 2], # B e C são vizinhos de A
    1: [0, 2, 3], # A, C e D são vizinhos de B
    2: [0, 1, 3], # A, B e D são vizinhos de C
    3: [1, 2] # B e C são vizinhos de D
}

def Busca_Largura(graph, source):

    # inicializa todos os nós de G
    i = 0
    for node in graph:
        cor[i] = BRANCO
        custo[i] = infy
        caminho[i] = NIL

        i = i+1

    # inicializando o nó fonte
    cor[source] = CINZA
    custo[source] = 0
    caminho[source] = NIL

    Q.put(source) # inserindo nó fonte na fila

    while not Q.empty():

        v = Q.get()

        # para cada nó vizinho de v

```



```

    for neighbour in graph[v]:
        if cor[neighbour] == BRANCO:
            cor[neighbour] = CINZA
            custo[neighbour] = custo[v]+1
            caminho[neighbour] = v
            Q.put(neighbour) # insere vizinho na fila
    cor[v] = AZUL

    return caminho

arvore_busca_largura = Busca_Largura(G, 0)
print(arvore_busca_largura)

```

```
[-1  0  0  1]
```

O resultado acima nos mostra um vetor com 4 posições, em que *A* é o nó fonte (seu predecessor no caminho é -1), o nó *B* possui como predecessor o nó *A*, o mesmo ocorre com o nó *C*. Finalmente, o nó *D* possui o vértice *B* como predecessor, conforma apresentado na Figura 11i.

Agora, vamos analisar a complexidade do algoritmo acima. Temos que o laço de inicialização percorre todos os vértices, possuindo complexidade de  $\theta(|V|)$ . O laço do comando `while` percorre, exatamente, todos os nós, ou seja, também possui complexidade  $\theta(|V|)$ . Já o comando `if` é verdadeiro apenas uma vez para cada nó pois, quando o mesmo troca de cor, não consegue voltar à cor original branca. Assim sendo, a complexidade do laço `for` acaba sendo  $O(|E|)$ . Isto significa que cada vizinho será visitado uma única vez, mas nada garante que todas as arestas serão visitadas. As complexidades de inserção e remoção da fila são dadas por  $\theta(1)$ . Desta forma, a complexidade final da busca em largura é dada por  $O(|V| + |E|)$ . Note que estamos utilizando uma lista de adjacência para representar o grafo acima.

Este conteúdo foi baseado nas notas de aulas do Prof. Zanoni Dias (IC/Unicamp) disponíveis [aqui](https://www.ic.unicamp.br/~zanoni/teaching/mo417/2011-2s/aulas/handout/10-grafos-buscas.pdf)  
[\(https://www.ic.unicamp.br/~zanoni/teaching/mo417/2011-2s/aulas/handout/10-grafos-buscas.pdf\)](https://www.ic.unicamp.br/~zanoni/teaching/mo417/2011-2s/aulas/handout/10-grafos-buscas.pdf).